

Contents	
PRODUCTION AUTOMATION	
Bushuev V.V., Kholshev I.G.	
Parallel kinematics mechanisms in machine-building	3
Kul'tyshev Yu.I.	
Flexibility and productivity problems of NC machines under mixed production conditions	8
Yurkevich V.V.	
Automated system of the parts manufacture precision check on the turning machines	11
METAL-CUTTING MACHINE-TOOLS	
Kudinov A.V.	
Features of the neural network simulation for machine-tools	13
Segal M.G., Sheiko L.I., Prikazchikov S.Ya.	
Precision evaluation of the complex-shaped surfaces machined on multi-axis NC machines	19
Shevchuk S.A., Adoyan G.A., Djakonov V.S.	
Technological efficiency of the cast based parts design for heavy and unique machine-tools	21
Belyaev V.G., Podzorov P.V.	
Reducer for feed drive units of NC machines	26
MANUFACTURING ENGINEERING	
Nastasenko V.A.	
Hobbing with multiple-thread hobs as alternative to gear broaching	27
PRACTICE OF PLANTS, INSTITUTES, DESIGN OFFICES	
Rogov V.A.	
Chip-breaking devices at turning	31
Bakhtiarov Sh.A.	
Diamond-saving method of profile diamond grinding	33
INFORMATION	
Potapov V.A.	
Results of the world largest machine-tool companies activity in 1999	34
BIBLIOGRAPHY	
Voskoboynikov B.S.	
English-russian dictionary of equipment automation	39

Inhalt	
BETRIEBSAUTOMATISIERUNG	
Buschuew W.W., Cholschew I.G.	
Parallelenkinematikmechanismen im Maschinenbau	3
Kul'tyshev Ju.I.	
Produktivitäts- und Flexibilitätsproblemen der NC-Maschinen unter Mischfertigungsbedingungen	8
Jurkewitsch W.W.	
Automatisierte Genauigkeitsprüfungssystem bei Drehbearbeitung	11
METALLZERSPANENDE WERKZEUGMASCHINEN	
Kudinow A.W.	
Besonderheiten von neurale Netzwerksimulation der Werkzeugmaschinen	13
Segal M.G., Scheiko L.I., Prikazchikov S.Ja.	
Genaugkeitsbewertung der komplexe Flächen bearbeitende auf der multiachsige NC-Maschinen	19
Schevtshuk S.A., Adojan G.A., Djakonov W.S.	
Fertigungsgerechte Gestaltung der Konstruktionen von gegossene Grundteile für schwere und unikale Werkzeugmaschinen	21
Belyaev W.G., Podzorow P.W.	
Getriebe für Vorschubantriebe der NC-Maschinen	26
SPANENDE TECHNOLOGIE	
Nastassenko W.A.	
Zahnradfertigung mit mehrgängige Walzfräsern als Alternative für Zahnradräumen	27
BETRIEBS-, INSTITUTS- UND KONSTRUKTIONS BüROPRAXIS	
Rogow W.A.	
Spanbrechungsvorrichtungen bei Drehbearbeitung	31
Bachtiarow Sch.A.	
Diamantsparendes Methode der Diamantprofilschleifen	33
INFORMATION	
Potapow W.A.	
Tätigkeitsergebnisse der weltgrößten Werkzeugmaschinenbaufirmen in 1999	34
BIBLIOGRAPHIE	
Woskoboynikow B.S.	
Englisch-russisches Wörterbuch für Ausrüstungsautomatisierung	39

Механизмы параллельной структуры в машиностроении

В.В.Бушев, И.Г. Хольшев

В последнее время в области машиностроения расширяется применение механизмов параллельной структуры [1 и др.], в частности гексаподов.

Типичный гексапод (рис.1) выполнен на базе шести мехатронных телескопических устройств 2 поступательного перемещения, представляющих собой шариковые винтовые передачи (ШВП). Для изменения их длины служат регулируемые электроприводы. Контроль за величиной перемещения осуществляется датчиками положения. Одним концом телескопическое устройство шарнирно соединено с основанием 1 (нижней платформой), а другим (также шарнирно) — с подвижной верхней платформой 3, на которой расположен исполнительный орган (ИО) (например, инструментальная или измерительная головка), используемая деталь и т.д. Перемещая винты по программе на различную величину ($h_1, h_2, h_3, h_4, h_5, h_6$), можно управлять положением ИО по шести координатам ($X, Y, Z, \alpha, \beta, \gamma$).

Укажем основные особенности такого механизма.

1. При малой массе подвижного ИО обеспечиваются высокие скорость перемещений (до 100 м/мин) и ускорение (до 50 м/ с^2).

2. Механизм отличается высокой жесткостью, что обусловлено работой телескопического устройства на растяжение-сжатие и равномерным распределением усилий по всей структуре.

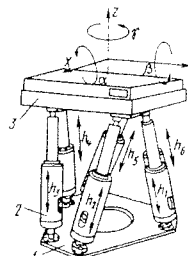


Рис.1. Схема механизма параллельной структуры типа гексапода

3. Геометрическая симметрия, а также возможность контроля и компенсации деформации благодаря наличию информационной системы позволяют значительно (до 5 раз) повысить точность обработки по сравнению с точностью, достигаемой в обрабатывающих устройствах (например, станках) классической структуры (в среднем точность обработки на машинах типа гексапода составляет несколько микрометров).

4. Простая модульная конструкция, выполненная на единой базе (стандартные элементы конструкции — ШВП, шарниры, штоки, приводы, датчики, платформы и т.п.), упрощает производство и обеспечивает гибкую и быструю реакцию изготовителя на требования заказчика.

5. Развитая информационная система позволяет реализовать различные диагностические функции. Кроме того, появляются дополнительные конструктивные возможности, в частности смены инструмента без специального устройства, только в результате перемещения ИО.

Механизмы параллельной структуры появились в 40-е гг. Так, известен [2] механизм типа гексапода (рис.2, а), построенный Гауфом (Gough) в 1947 г. Он позволял фиксировать и ориентировать подвижную платформу в целях проверки функционирования пневматической системы. В 60-е гг. стали распространяться авиационные тренажеры (рис. 2, б) на базе механизма параллельной структуры — так называемой платформы Стюарта.

В настоящее время машины на базе механизмов параллельной структуры применяются в различных областях в качестве вибрационных стендов, тренажеров, измерительных комплексов, роботов, позиционирующих устройств, манипуляторов и микроманипуляторов, металлорежущего оборудования.

Объектами динамических испытаний, проводимых на вибрационном стенде, могут быть раз-

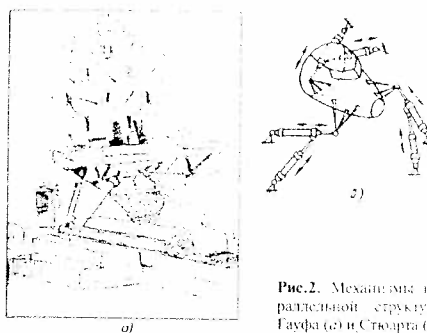


Рис.2. Механизмы параллельной структуры Гаупфа (а) и Стюарта (б)

личные устройства: от автомобильных двигателей (при высокой частоте возбуждаемых на стенде колебаний) до автомобилей в целом (при малой частоте). Частота, амплитуда колебаний и угол наклона платформы с испытуемым изделием могут регулироваться в широких пределах. Жесткость конструкции стенда подбирают таким образом, чтобы собственная частота стенда не совпадала с рабочими частотами изучаемого объекта.

Тренажеры используют в исследовательских центрах для имитации различных условий, например полета самолета или косического корабля; при этом отрабатываются навыки управления. На платформе устанавливают различные устройства: кабину пилота, приборы жизнеобеспечения и т.п., поэтому размеры платформы могут достигать нескольких десятков метров. Изменение углового положения платформы осуществляется вручную с пульта управления.

Изменение в пространстве положения обрабатываемых или измеряемых корпусных деталей возможно на позиционирующих устройствах (рис.3).

При использовании механизма гексапода для измерения размеров и погрешностей деталей положение платформы с измерительным устройст-

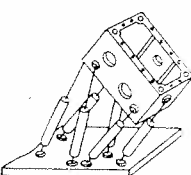


Рис.3. Позиционирующее устройство с корпусной деталью

вом (рис.4, а) контролируется лазерным интерферометром, благодаря чему погрешность измерения составляет несколько микрометров. Манипулятор (рис.4, б) служит для освобождения человека от тяжелых нагрузок. По команде оператора платформа манипулятора подводится к объекту, захватывает его специальным устройством и перемещает по требуемой траектории.

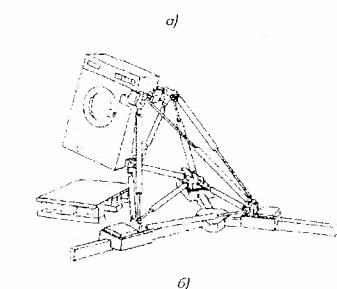
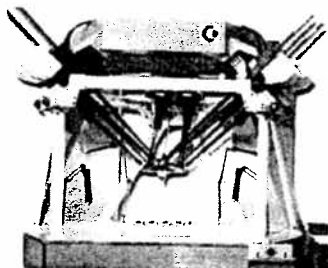


Рис.4. Контрольно-измерительный механизм (а) и манипулятор (б)

Компоненты механизмов параллельной структуры. В основе рассматриваемых механизмов лежит телескопическая штанга с закрепленными на ее концах сферическими (рис.5, а) или карданными (крестовыми) (рис. 5, б) шарнирами. Штанги

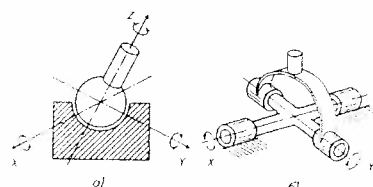


Рис.5. Сферический (а) и карданный (б) шарниры

составляют совокупность несущих элементов, работающих параллельно и образующих ферменную конструкцию. Используют штанги с врачающимися (рис. 6, а) и невращающимися (рис. 6, б) штоком, а также штанги постоянной длины с дополнительным механизмом их передвижения.

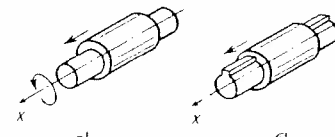


Рис.6. Штанги с вращающимися (а) и невращающимися (б) штоком

Для изменения длины штанг применяют передачи винт—гайка (чаще всего ШВП) и фрикционные передачи [при небольших (около 100 Н) усилиях на штанге и высокой (до 1 мкм) точности перемещений, например в контрольно-измерительных машинах]. Принципиально возможно использовать и другие тяговые устройства, в частности поршневого типа с пневматическим приводом, а также линейные электроприводы.

Для анализа кинематической структуры рассматриваемых механизмов используем формулу Сомова—Малышева [3], согласно которой общее число H степеней подвижности кинематической структуры относительно неподвижного звена (основания) определяется следующим образом.

Для пространственной кинематической структуры

$$H = 6(k - 1) - 5p_1 - 4p_2 - 3p_3 - 2p_4 - p_5; \quad (1)$$

для плоской кинематической структуры

$$H = 3(k - 1) - 2p_1 - p_2, \quad (2)$$

где k — общее число звеньев кинематической структуры; p_i — число кинематических пар с i степенями подвижности ($i = 1, 5$).

Такими кинематическими парами являются: 1) сферический шарнир (см. рис.5, а) с тремя ($i = 3$) степенями подвижности (вращение вокруг осей X , Y и Z); 2) карданный шарнир (см. рис.5, б) с двумя ($i = 2$) степенями подвижности (вращение вокруг осей X и Y); 3) соединение цилиндра и штока (см. рис.6, а) с двумя ($i = 2$) сте-

пенями подвижности (осевое перемещение вдоль оси X и вращение штока относительно этой оси); 4) соединение цилиндра и штока со шпонкой (см. рис. 6, б) с одной ($i = 1$) степенью подвижности (перемещение штока вдоль оси X).

После вычисления H необходимо проверить степень неподвижности H' кинематической структуры при условии, что все ведущие (активные) звенья неподвижны. Под ведущими будем понимать такие звенья, законы движения которых заданы (см. на рис. 1 обобщенные координаты h_1 , h_2 , ..., h_6). Звенья, законы движения которых однозначно определяются законами движения ведущих звеньев, будем называть ведомыми (пассивными) (см. на рис. 1 координаты позиционирования X , Y , Z , α , β , γ). Тогда для пространственной кинематической структуры

$$H' = 6(k - k' - 1) - 5(p_1 - p'_1) - 4(p_2 - p'_2) - 3(p_3 - p'_3) - 2(p_4 - p'_4) - (p_5 - p'_5); \quad (3)$$

для плоской кинематической структуры

$$H' = 3(k - k' - 1) - 2(p_1 - p'_1) - (p_2 - p'_2), \quad (4)$$

где k' — число активных звеньев кинематической цепи; p'_i — число активных кинематических пар с i степенями подвижности.

На основе расчета по формулам (1) — (4) определяют следующее: если $H' > 0$, то механизм нежесткий; если $H' < 0$, то имеются избыточные механические связи и структуру следует изменить так, чтобы соблюдалось условие $H' = 0$.

Проанализируем различные сочетания штанг с шарнирами (рис.7).

Рис.7, а: формула схемы $\theta - BH_1 - K_2 - III_1 - K_2 - \Pi$; она содержит основание (θ), ведущее направляющее устройство с одной степенью подвижности (BH_1), крестовый шарнир с двумя степенями подвижности (K_2), вращающуюся штангу с одной степенью подвижности (III_1) постоянной длины, второй крестовый шарнир (K_2) и платформу (Π).

Рис.7, б: формула схемы $\theta - K_2 - BH_2 - K_2 - \Pi$; она содержит ведущую штангу с цилиндрическим штуком с двумя степенями подвижности (BH_2), которая совершает поступательное движение и свободное вращательное движение вокруг оси штанги; обозначения остальных элементов см. выше.

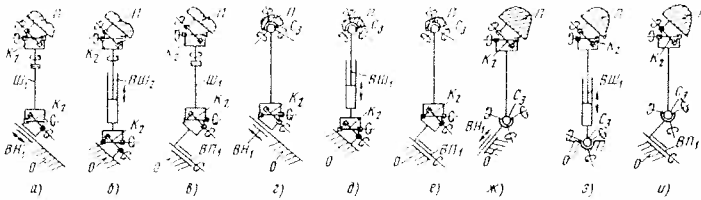


Рис.7. Различные сочетания штанги с шарнирами

Рис.7, в: схема с формулой $\theta - BH_1 - K_2 - III_1 - K_2 - \Pi$ содержит ведущее поворотное устройство с одной степенью подвижности (BH_1).

Рис.7, г: формула $\theta - BH_1 - K_2 - C_3 - \Pi$; схема отличается наличием сферического шарнира с тремя степенями подвижности (C_3) и имеет ведущее направляющее устройство с одной степенью подвижности (BH_1) и штангу постоянной длины.

Рис.7, д: формула $\theta - K_2 - BH_1 - C_3 - \Pi$; схема содержит ведущую штангу с одной степенью подвижности (BH_1), реализуемой поступательным движением штока (как, например, в шлицевом соединении).

Рис.7, е: формула $\theta - BH_1 - K_2 - C_3 - \Pi$; схема содержит ведущее поворотное устройство (BH_1) с одной степенью подвижности и штангу постоянной длины.

Рис.7, ж: формула $\theta - BH_1 - C_3 - K_2 - \Pi$; схема характеризуется ведущим направляющим устройством с одной степенью подвижности (BH_1).

Рис.7, а: формула $\theta - C_3 - BH_1 - K_2 - \Pi$: имеется ведущая штанга с одной степенью подвижности (BH_1), шток совершает поступательное движение.

Рис.7, и: формула $\theta - BH_1 - C_3 - K_2 - \Pi$: схема содержит ведущее поворотное устройство с одной степенью подвижности (BH_1).

Все известные механизмы параллельной структуры построены на основе рассмотренных сочетаний

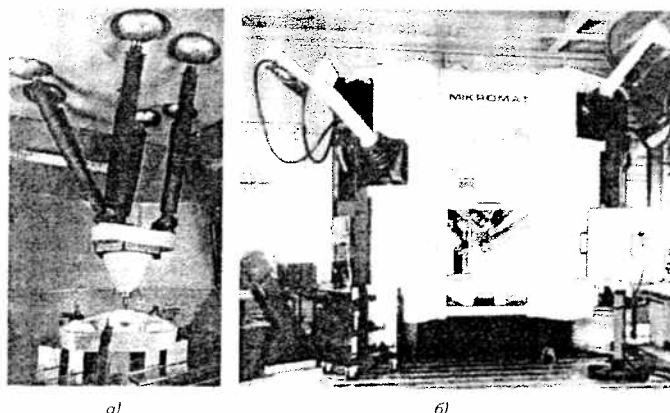


Рис.8. Разновидности гексаподов

штанг и шарниров. Например, кинематическая цепь штанги металлообрабатывающего оборудования (рис.8, а) фирмы Hexel (США) построена по формуле $\theta - C_3 - BH_1 - K_2 - \Pi$; технологический модуль АОЗТ "Лапик" (г. Саратов) [4] соответствует формуле $\theta - K_2 - BH_1 - C_3 - \Pi$, а станок (рис.8, б) Фраунгофера института (Германия) — формуле $\theta - K_2 - BH_2 - K_2 - \Pi$. Отличительной особенностью оборудования по рис.8 является то, что штанги закреплены на верхней платформе; поэтому обрабатываемая заготовка или измеряемая деталь находится под ней.

В механизмах, показанных на рис.8, $k = 14$; $K = 6$; $p_1 = 6$; $p_2 = 6$; $p_3 = 6$; $p'_1 = 6$; $p'_2 = 0$; $p'_3 = 0$; Тогда согласно формулам (1) и (3)

$$H = 6 \cdot (14 - 1) - 5 \cdot 6 - 4 \cdot 6 - 3 \cdot 6 = 6;$$

$$H' = 6 \cdot (14 - 6 - 1) - 5 \cdot (6 - 6) - 4 \cdot 6 - 3 \cdot 6 = 0.$$

Известны также механизмы с меньшим числом штанг, например с тремя — так называемые

триподы. Такой механизм (рис.9), разработанный фирмой Neos Robotics (Швеция), предназначен для снятия заусенцев с алюминиевых деталей. Размеры рабочей зоны $800 \times 800 \times 400$ мм; габарит $3800 \times 4400 \times 5000$ мм; масса 17,4 т. Структура кинематической цепи одной штанги соответствует рис.7, б.

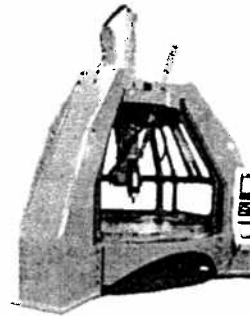


Рис.9. Механизм параллельной структуры типа трипода

Механизм типа трипода состоит из трех симметрично установленных штанг, связанных шарниро одним концом с ИО, а другим — с основанием. Эти штанги работают на растяжение-сжатие. Дополнительная штанга, расположенная в центре, воспринимает изгибные деформации от инструментальной головки; поэтому она имеет существенно большие размеры по сравнению с другими штангами. Для трипода $k = 9$; $K = 3$; $p_1 = 4$; $p_2 = 4$; $p_3 = 3$; $p'_1 = 3$; $p'_2 = 0$; $p'_3 = 0$:

$$H = 6 \cdot (9 - 1) - 5 \cdot 4 - 4 \cdot 4 - 3 \cdot 3 = 3;$$

$$H' = 6 \cdot (9 - 3 - 1) - 5 \cdot (4 - 3) - 4 \cdot 4 - 3 \cdot 3 = 0.$$

Механизмы типа "дельта" (рис.10) представляют собой замкнутую кинематическую цепь, состоящую из шести штанг постоянной длины, расположенных попарно-параллельно и соединенных шарниро одним концом с платформой, несущей инструмент, а другим — с ведущим направляющим устройством (см. рис.10, а; формула $\theta - BH_1 - K_2 - III_1 - K_2 - \Pi$) или с ведущим поворотным устройством (см. рис.10, б; формула $\theta - BH_1 - K_2 - III_1 - K_2 - \Pi$). В обоих случаях пары штанг образуют параллелограммную конструкцию. При поступательном (см. h_1 , h_2 , h_3 на

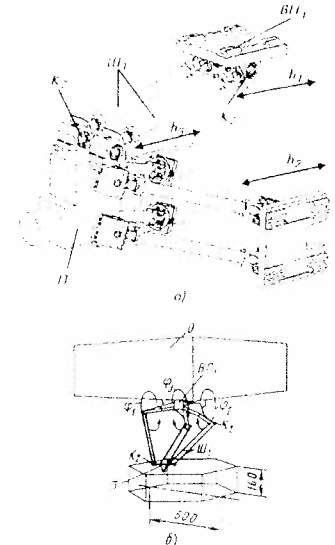


Рис.10. Механизмы параллельной структуры типа "дельта" (рис.10, а) или вращательном (см. φ_1 , φ_2 , φ_3 на рис. 10, б) перемещении элементов механизма платформа совершает параллельно-поступательное движение.

На базе механизма, показанного на рис.10, а, фирмой Renault Automation (Франция) создан станок мод. Urane SX, предназначенный для обработки 16 отверстий в корпусе автомобильного двигателя. Размеры рабочей зоны $630 \times 630 \times 630$ мм; габарит $4000 \times 2000 \times 2600$ мм.

Оборудование на базе механизма, показанного на рис.10, б, разработано фирмой ARIA (Швейцария) и предназначено в основном для быстрого складирования деталей в накопителях автоматических линий. Размеры рабочей зоны $600 \times 600 \times 160$ мм; габарит $880 \times 880 \times 1430$ мм.

Для механизмов типа "дельта" $k = 11$; $K = 3$; $p_1 = 3$; $p_2 = 6$; $p_3 = 6$; $p'_1 = 3$; $p'_2 = 0$; $p'_3 = 0$:

$$H = 6 \cdot (11 - 1) - 5 \cdot 3 - 4 \cdot 6 - 3 \cdot 6 = 3;$$

$$H' = 6 \cdot (11 - 3 - 1) - 5 \cdot (3 - 3) - 4 \cdot 6 - 3 \cdot 6 = 0.$$

Очевидно, что потребность в оборудовании на базе механизмов параллельной структуры существует в первую очередь там, где требуется новым

ищемая точность, высокая производительность, выполнение сложных двигательных функций, а также быстрая реакция изготовителя на требования заказника.

В настоящее время рассмотренное оборудование характеризуется излишне широким спектром конструктивных исполнений. Процесс его проектирования базируется главным образом на опыте и интуиции разработчиков. База знаний в этой области отсутствует, традиции проектирования и расчета еще не сформировались. В связи с этим целесообразно провести исследования в ряде направлений: установить параметры, которыми

определяется конструкция механизма параллельной структуры; выработать критерий оценки конструкции; выявить переход от расчетов к конструктивным изменениям.

Список литературы

- Глазунов В.А., Колискор А.Ш., Крайнев А.Р. Пространственные механизмы параллельной структуры — М.: Наука, 1991. — 90 с.
- Merlet J.-P. Les robots parallèles. — Paris: Hermès, 1997. — 355 р.
- Артоболовский И.И. Теория механизмов и машин — М.: Наука, 1975. — 638 с.
- Прецизионное оборудование нового поколения // СТИН. — 1999. — №1. — С. 28–32.

Проблемы гибкости и производительности станков с ЧПУ в условиях многооперационного производства

Ю.И.Култышев

Одна из основных проблем многооперационного производства состоит в том, что с повышением уровня автоматизации оборудования существенно снижается его гибкость (рис.1), причем интенсивность ее снижения возрастает с увеличением числа N деталеопераций. Гибкость как интегральный показатель надежности производственной системы [1], в частности ГПС, рассчитывают по формуле $\Gamma = P_1 P_2 P_3$, где P_1 , P_2 и P_3 — вероятность работы оборудования ГПС без отказов по техническим (неисправность), технологическим (переналадка) и организационным причинам соответственно.

Уровень автоматизации многооперационного производства

$$A = \left(\sum_{i=1}^I L_i a_i \right) / L = \sum_{i=1}^I l_i a_i,$$

где L_i — трудоемкость i -й автоматизированной операции; I — число автоматизированных операций в производственном процессе; L — общая трудоемкость производственного процесса; $l_i = L_i / L$ — относительная трудоемкость i -й операции; a_i — степень достижения планируемого эффекта (повышения производительности, улучшения качества продукции или условий труда) посредством автоматизации i -й операции ($a_i = 0$,

если эффект отсутствует; $a_i = 1$, если эффект достигнут).

При многокритериальной оценке гибкости оборудования [1 и 2] трудно определить область применения средств и систем автоматизации, рациональных с экономической точки зрения. Использование интегрального показателя надежности в качестве критерия гибкости упрощает решение проблемы и позволяет с помощью математического аппарата сравнивать гибкость различных структур автоматизированного производства на разных стадиях их создания и внедрения [1].

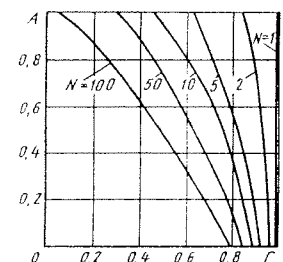


Рис.1. Связь уровня A автоматизации многооперационного производства с гибкостью Γ оборудования и числом N деталеопераций

Однако этот показатель целесообразно использовать лишь для укрупненных расчетов, так как в методике оценки гибкости не выделены факторы, определяющие гибкость ГПС, не раскрывается связь гибкости станка с ЧПУ и его производительности.

На практике определяющим показателем гибкости является сменная производительность Q_c , которая должна обеспечивать выпуск комплектов деталей, необходимых для сборки. При учете времени переналадки оборудования

$$Q_c = \frac{1}{t_{\text{шт}} + t_{\text{п.з}} / n} = \frac{Q_n}{1 + t_{\text{п.з}} / (t_{\text{шт}} n)} = Q_n \eta,$$

где $t_{\text{шт}}$ — штучное время; $t_{\text{п.з}}$ — подготовительно-заключительное время; n — число деталей в партии; $Q_n = (t_m + t_b)^{-1}$ — цикловая производительность; t_m — машинное время; t_b — вспомогательное время; $\eta = [1 + t_{\text{п.з}} / (t_{\text{шт}} n)]^{-1}$ — коэффициент гибкости оборудования.

Анализ этой зависимости показывает, что на гибкость оборудования наибольшее влияние оказывает трудоемкость его переналадки при переходе на обработку леталей другого наименования. Повышение гибкости (связанное с сокращением времени $t_{\text{п.з}}$) позволяет резко повысить эффективность оборудования, поскольку одновременно возрастает его производительность. Это особенно заметно при малых значениях времени $t_{\text{шт}}$ обработки партии деталей (рис. 2) [3 и 4].

Гибкость ГПС зависит от гибкости всех ее звеньев и особенно технологической оснастки. В настоящее время ни одна система традиционной установочно-крепежной оснастки (УСП, УНП,

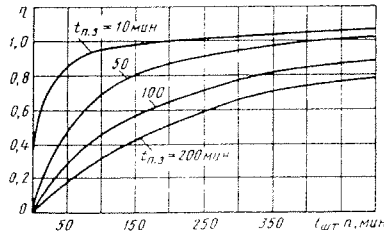


Рис.2. Зависимость коэффициента гибкости оборудования от продолжительности $t_{\text{шт}}$ и обработки партии деталей и времени $t_{\text{п.з}}$

СРП, УПТО, СНП и др.) не отвечает в полной мере требованиям ГПС, поскольку станки с ЧПУ переналаживают вручную.

В крупносерийном производстве переналадка приспособлений-спутников (ПС) в ГПС — это смена специальных ПС или специальных неразборных приспособлений, в серийном производстве — замена приспособлений на ПС и переналадка базовой оснастки (СРП, УСП, УНП, СНП), а в мелкосерийном производстве — создание компоновок из простых и дешевых наладок и универсальных установочно-крепежных элементов.

Недостатками традиционной оснастки являются избыточность конструктивных элементов, которые полностью не используются в конкретных наладках, а также сложность и большая трудоемкость переналадки (УСП, СРП). Избыточность базирующих элементов ведет к снижению жесткости оснастки (УСП) либо к увеличению металлоемкости (УНП, СРП, СНП), что повышает ее сложность и трудоемкость изготовления базовых деталей приспособления.

Большое число промежуточных элементов в наладке (стол — плита — угольник — база) станка с ЧПУ снижает точность базирования заготовок относительно станочной системы координат. На практике этот недостаток устраняют путем повышения требований к точности изготовления деталей приспособления либо путем измерения установочных баз заготовки и последующей корректировки управляющей программы по результатам измерений, что ведет к значительным затратам.

При использовании традиционных приспособлений номенклатура и число заготовок, одновременно закрепляемых на станке, определяются размерами и числом базирующих отверстий или пазов, расположенных на базовой плите (стойке) приспособления, а также их межцентровыми и межосевыми расстояниями. При создании универсального приспособления неизбежно увеличивается число базирующих элементов, что ведет к усложнению приспособления, снижению его жесткости и росту затрат на изготовление.